

正員 森 明巨
正員 岸 力

1.はじめに

河道弯曲部の河床変動を予測するには、まず流れの構造を知らなければならぬ。数値計算法は、二本を求める有力な方法であると言える。1980年KalkwijkとVriend⁽¹⁾は、二本にフリマツの計算法を提案した。(以下では、これをKV法と呼ぶ)著者らは、KV法を幾つかの弯曲流れに適用してみて、KV法では、横断方向の流速Vを正確に求められないと知った。この原因が運動方程式の近似の仕方にあると言え、こつ莫の改良を試みた。(便宜上二本をMK法と呼ぶことにする)

2. MK法の概要

基礎方程式 座標系を図1の様に取る。流れの運動方程式及び連続の式を深さ方向に平面したものと(1), (2), (3)式でみたまる。

$$U \frac{\partial U}{\partial S} + V \frac{\partial U}{\partial n} + \frac{UV}{r} + \frac{1}{rh} \frac{\partial rhX}{\partial n} + \frac{X}{r} + f \frac{U^2}{h} + g \frac{\partial f}{\partial S} = 0 \quad (1)$$

$$U \frac{\partial V}{\partial S} + V \frac{\partial V}{\partial n} - \frac{U^2}{r} + \frac{1}{h} \frac{\partial rhX}{\partial S} + \frac{f}{h} UV + g \frac{\partial f}{\partial n} = 0 \quad (2)$$

$$\frac{\partial hU}{\partial S} + \frac{1}{r} \frac{\partial rhV}{\partial r} = 0 \quad (3)$$

ここで、U, V; それぞれS, n方向の平均流速, f; 摩擦係数。
h; 水位、であり。Xは、S, n方向の流速をU, Vとし、ひらがくと

$$\overline{U \cdot V} = U \cdot V + X \quad (4)$$

で定義される。一は、河床から水面までの平均値を意味する。

(1), (2)式を、それぞれS, nで偏微分してえたものを
(3)式を用ひ $\frac{\partial^2}{\partial S^2} + \frac{\partial^2}{\partial n^2} = F \quad (5)$
とおき、FはU, Vの二階微分の項を消す。 (1), (2), (5)式を差分化する。

方程式の差分化 河道平面を図2に示す様に、河道中心線に平行な曲線群及びこれに直交する曲線群で分割し、これらの交点を計算点とする。(1), (2)式を陰形式の差分に展開する。差分割を示すと、

$$U \frac{\partial U}{\partial S} \rightarrow \frac{\widetilde{U}_{z,T+1} + \widetilde{U}_{z,T-1}}{2} \frac{U_{z,T+1} - U_{z,T}}{\Delta S} \quad U \frac{\partial V}{\partial n} \rightarrow \frac{\widetilde{U}_{z,T} + \widetilde{U}_{z,T+1}}{2} \frac{(U_{z+1,T} + U_{z-1,T}) - (U_{z+1,T+1} + U_{z-1,T-1})}{2 \times \Delta n}$$

ここで、 $\widetilde{U}_{z,T+1}$ は $U_{z,T+1}$ の予測値で(3)式を差分化して求めめる。(5)式の差分は、図2中に示した○, ●印地点の諸量を用ひて●印地点の水位を求める形に展開する。

境界条件 流路の上下流端及び左岸での水位、上流端でのU, V($=0$)及び左岸でのV($=0$)をとる。

下流端；計算の対象となる流路の下流端と同じ断面形の流路を適当な距離付け加え、計算上の下流端水位として等流の水位を与える。

上流端；T=2の流量が所定の流量になる様に上流端の水位を調整する。

左右岸；I=1, 2の間で(2)式を差分化し、それより左岸の水位を用める。右岸ヒラリでも同じである。

初期水位 流路中心部の曲率半径をRc、計算上の二本をRocとおき、両者の関係を(6)式で与える。

$$R_{oc}(m) = \rho(m) \cdot R_o \quad (6) \quad \text{ここで, } m; \text{ 線り直し数, } \beta; \beta \geq 1 \text{ つまり, } m \geq m_c \text{ で } \beta = 1, m < 1 \text{ では } \beta \gg 1 \text{ として, 計算上の流路が直線河道とみなしえる程度にする。この様な仮想流路の初期水位として, } T = \infty \text{ かつ, } \varphi = \cos \beta t, \theta = \varphi \text{ とす。} \quad \text{丁方向の変化は、通常の不等流計算などにナリ求めたものと与える。}$$

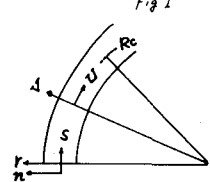
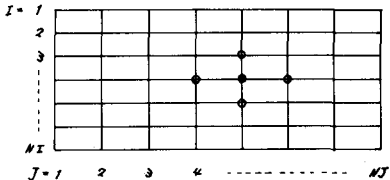


Fig. 2



3. Rozovskii^{a)}の実験(RUN-8)への適用

実験条件 水路平面形を図3.1に示す。 $R_c = 0.8\text{m}$, 川幅 $B = 0.8\text{m}$, 流量 $Q = 12.3\text{ l/sec}$, 水深 $h = 6.3\text{ cm}$ である。

計算条件 格子点数は、 $NI = 11$, $NJ = 49$ である。計算には、如遠リーフマン法(パラメータを入とおき)を用い、あるステップごとの計算値と次のステップの計算値との差の絶対値が、総2の計算差が $1/100\text{ mm}$ 以下になった時実行打ち切った。このときの $m = m_t$ と入の関係を図4に示す。 $m = 0.6$ が最適であった。

計算結果 図3.1に $X = 0$ としE_{ij}の計算値(実線)と実測値(実線)の比較を示した。図から、弯曲部の出口において両者の傾向が逆であることがわかる。

X を(7)式で近似する。

$$X = X_0 \cos \pi y/B \quad (7)$$

$\therefore z^a$ 、 X_0 は矩形水路中央部での X 推定値。 $\cos \pi y/B$ は、直立壁でありますことを考慮した補正である。図5に X の実測値(data by 池田⁽²⁾)と(7)式の比較を示してある。図からわかる通り、両者は良く一致している。この X を用いたときの V の計算値を図3.2に示した。

図3.3は、流路の曲率が変化する場合の二次流の強度の変化(森・岸⁽³⁾)を考慮したときの V の計算値を示したものである。これらの図から、 X のカ方向、更に S 方向の変化を考慮すると、 V の計算値が実測値とより良く一致することができる。図6は、左右岸水位の実測値と、case 3で得られた計算値を示したものであるが、図からわかる通り両者は良く一致している。

以上の結果から、MK法により弯曲流の精度良い予測が可能と判断された。図7に V の計算値を示した。 $S = 0^-$ では $V < 0$ ($S = 0^+$ における内岸くち外岸ほかであるため)、 $S = 0^+$ で突然円心力が生ずるため $dV/dS \gg 0$ 。弯曲部出口におけるもれと同様の二点起因 $z=0$ 。この弯曲部区间では $V \neq 0$ となる領域はない。

4. おわりに

KV法では、(4)式から、(水面図の頂を無視して)水面形を求めておこなうため(V は(3)式から求められる)、 S 軸の取り扱い結果に大きな影響する。MK法では二の点に関する問題がなく、河道平面形が複雑な自然河道に対しても良好な結果が期待できる。

参考文献 1) Kalkwijk & Vriend, J.H.R., vol.18 '80. 2) Rozovskii, Israel Program '67. 3) 池田, 土論集 NO.219 '73. 4) 森・岸, 第25回水講習

Fig. 3.1

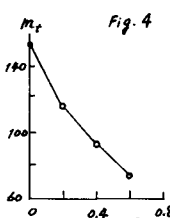
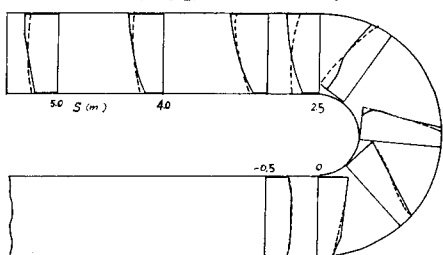
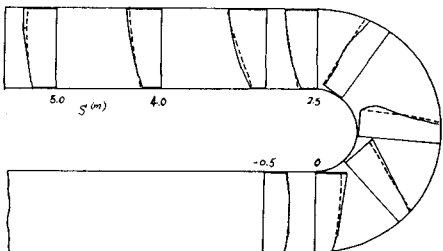


Fig. 4

case 2. Fig. 3.2



case 3. Fig. 3.3

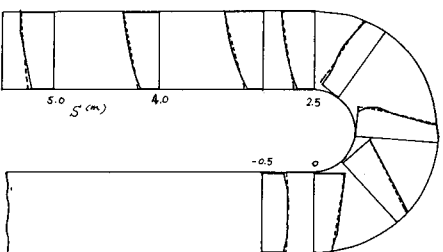


Fig. 6

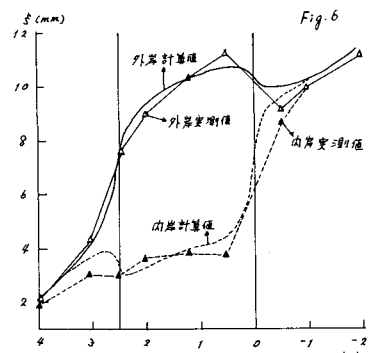


Fig. 7

